非球形粒子間隙を通過する Non-Boussinesq 密度流の数値解析 田中寛樹(京大・エ),鳥生大祐(京大・ACCMS),牛島省(京大・ACCMS)

固体粒子および混ざり合う2気体からなる多相場の数値解析手法

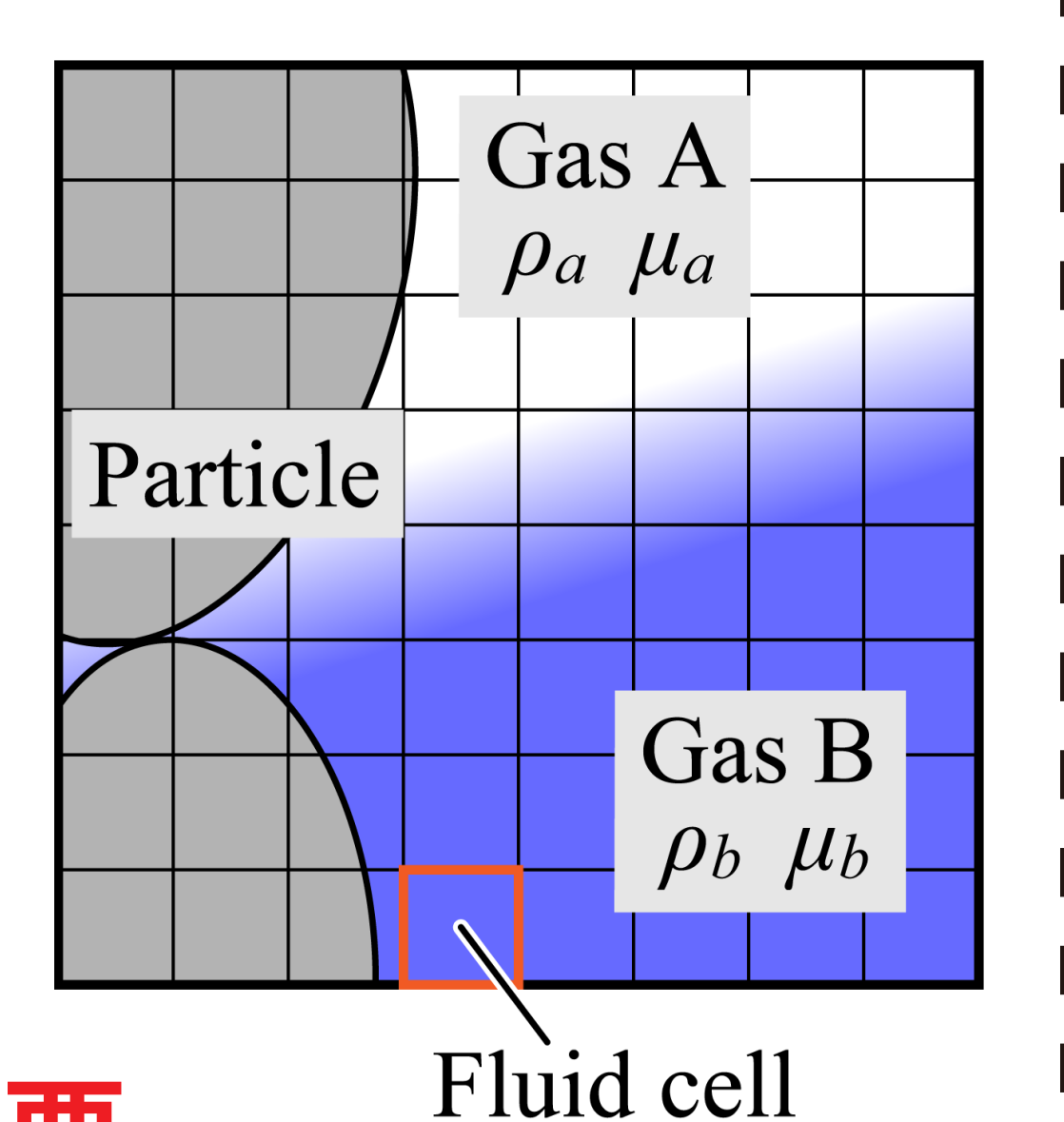
相平均モデル

固相領域に仮想流体を考え、

各相の (質量保存則 各相の (非圧縮条件 運動方程式

を平均化した基礎方程式を計算

→ 抗力係数などの実験定数は不要



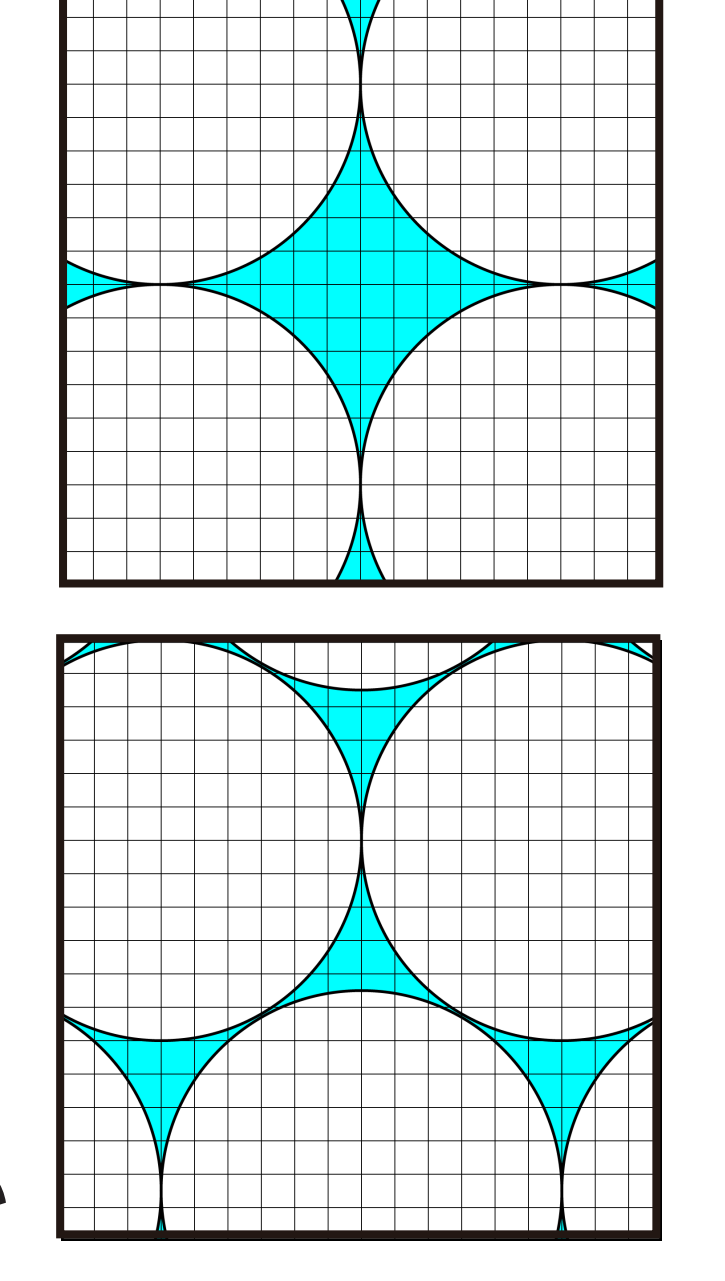
空隙セル解像度R

流路の確保が重要→空隙率に注目

$$R = \frac{d^3 \varepsilon}{\Delta x_1 \Delta x_2 \Delta x_3} \begin{pmatrix} \Delta x_i : 計算セル幅 \\ d : 代表粒径 \\ \varepsilon : 空隙率 \end{pmatrix}$$

右図は粒径が同じで空隙率が異なる領域を同じ計算セルサイズで分割した様子を示す

上図に比べ、下図は十分な流路を確保できていない



非ブシネスク流れも計算可能

$$\rho_0 \frac{\partial u_i}{\partial t} + \rho_0 \frac{\partial (u_i u_j)}{\partial x_j} = -\frac{\partial p}{\partial x_i} + \frac{\partial}{\partial x_j} \left(\mu \frac{\partial u_i}{\partial x_j} + \mu \frac{\partial u_j}{\partial x_i} \right) + \rho_f g_i$$

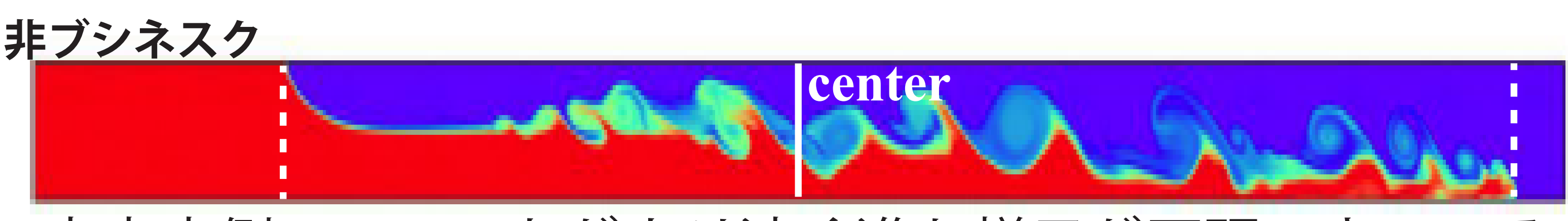
【ブシネスク近似】密度変化が十分小さいと仮定し、左辺の密度は 基準密度(定数)、右辺の密度には 2 気体の混合密度 ρ_f を用いる

$$\rho_{\mathbf{f}} \frac{\partial u_{i}}{\partial t} + \rho_{\mathbf{f}} \frac{\partial (u_{i}u_{j})}{\partial x_{j}} = -\frac{\partial p}{\partial x_{i}} + \frac{\partial}{\partial x_{j}} \left(\mu \frac{\partial u_{i}}{\partial x_{j}} + \mu \frac{\partial u_{j}}{\partial x_{i}} \right) + \rho_{\mathbf{f}} g_{i}$$

【非ブシネスク(本報)】すべての密度に混合密度 ρ_f を用いる密度比 2.18 以上の流れも正確に再現できる(池田ら, 2012)

ブシネスク 高密度気体

高密度側と低密度側でフロント位置が対称的



高密度側のフロントがより速く進む様子が再現できている 池田ら (2012) による lock-exchange 流れの計算結果 (密度比 2.99, 同時刻, 上図はブシネスク近似を用いた結果)

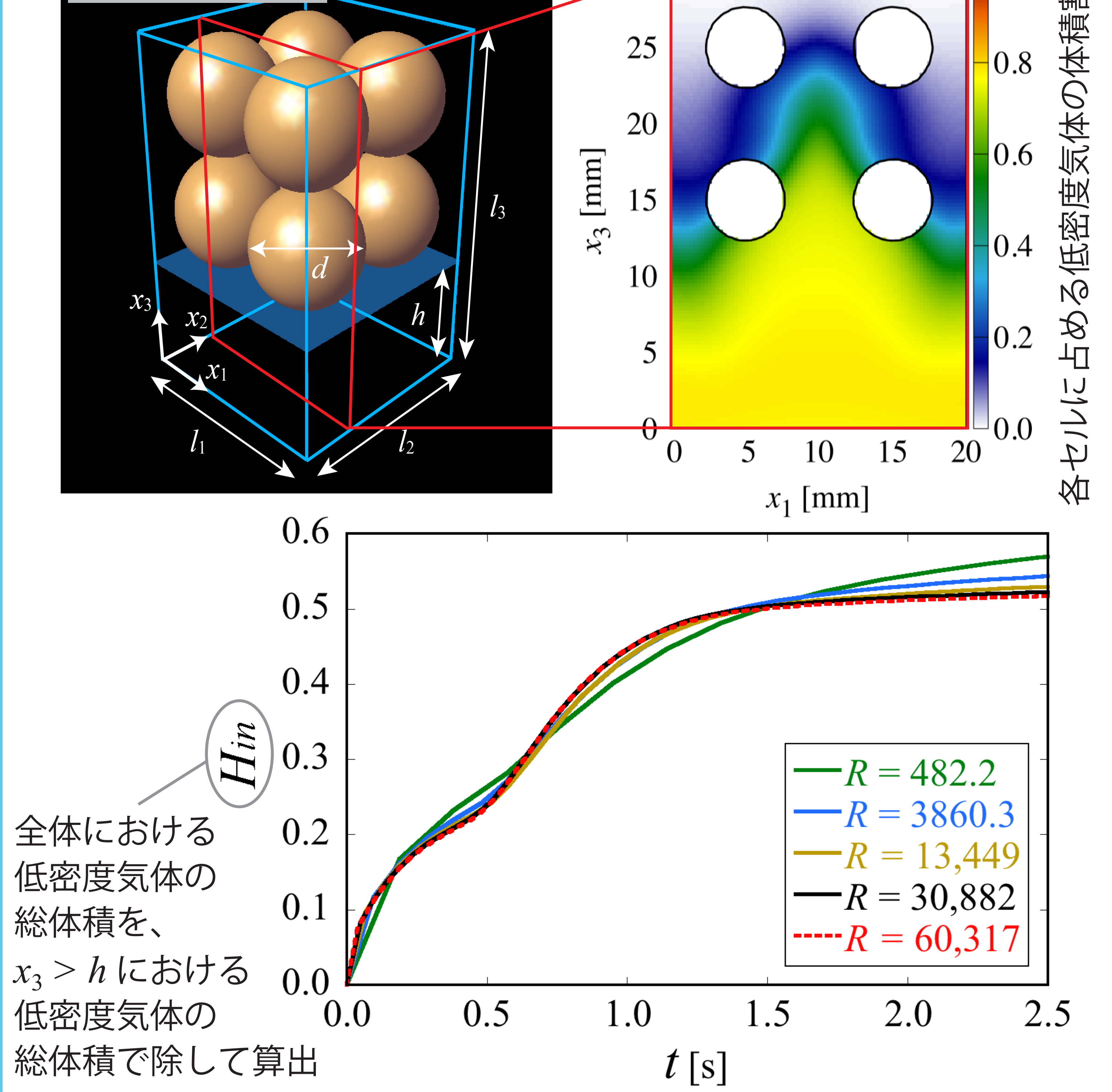
粒子間隙における非ブシネスク流れの数値実験

 $x_3 = 40$

均一球体を規則的に配置

- 計算領域の上部に高密度気体 (空気の物性値)、 下部に低密度気体 (水素ガスの物性値)を配置
- ●密度は水素ガス 0.084 [kg/m³], 空気 1.2 [kg/m³]
 - → 密度比がおよそ 14 の非ブシネスク流れ
- ●計算セルサイズを変え、Rについての検討を行う

t = 0.5 [s]

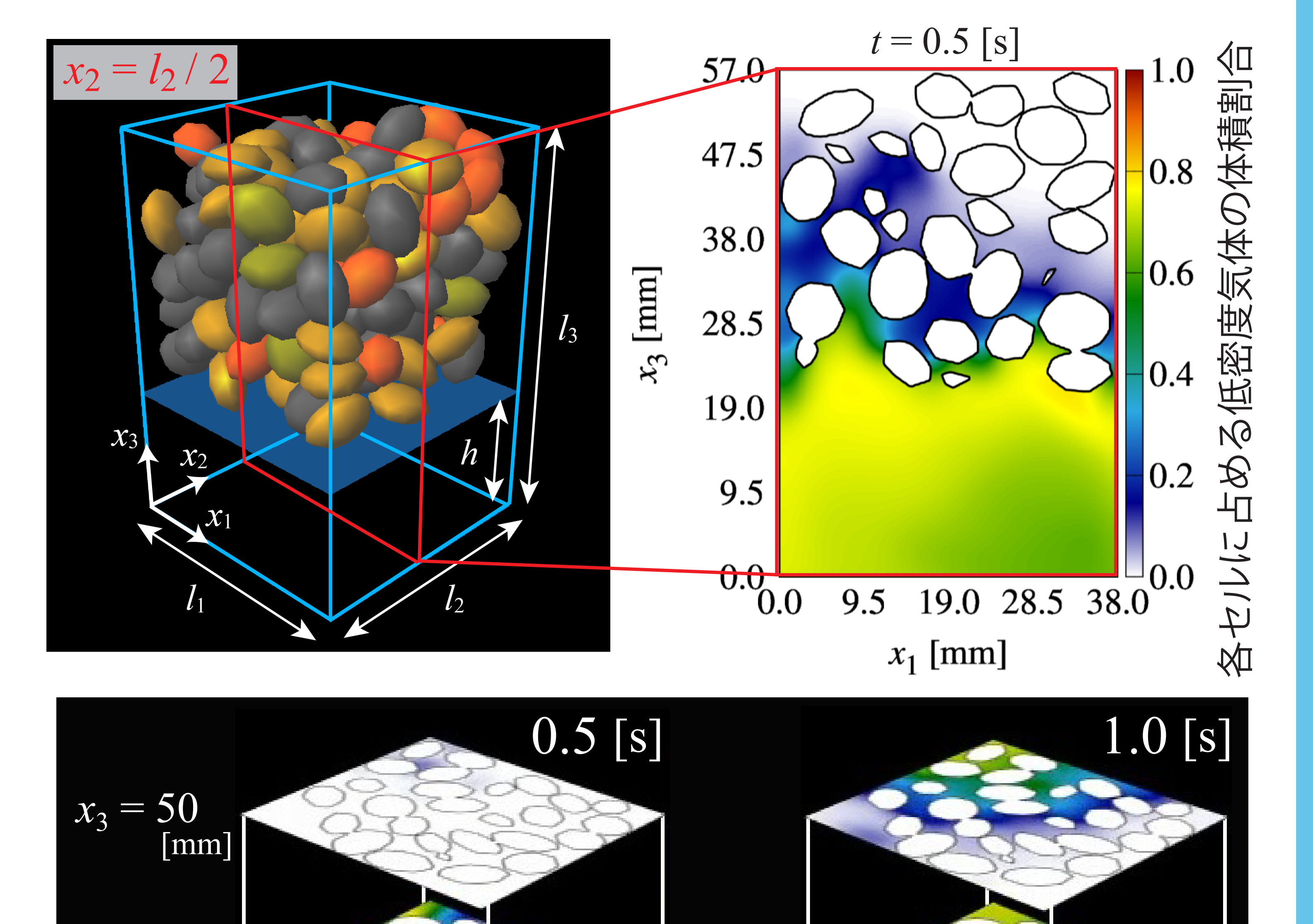


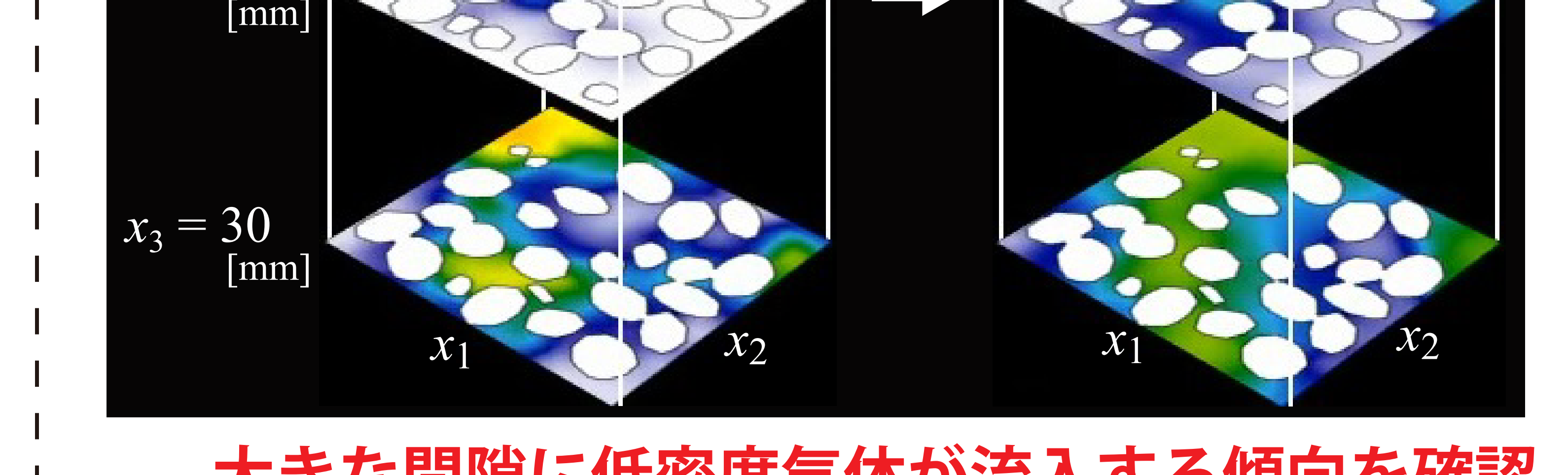
Hin (低密度気体の粒子間隙への侵入率) の時間変化

→ 本計算において R > 30,882 ではほぼ同様の結果

非球形粒子を不規則に配置

- ●形状や粒径の異なる4種類の粒子128個を配置
- 代表粒径 d は中径の平均値 7.7 [mm] とした
- R が約 30,000 となるよう計算セルサイズを設定
- 3次元的な描画を行い、粒子間隙にどのように 低密度気体が流入するか、その傾向を確認する





大きな間隙に低密度気体が流入する傾向を確認 非対称で3次元的な流れが間隙で発生した